

## (73) 角柱からの自然対流伝熱の数値計算

東京大学 工学部

吉沢 昭宣

藤崎昌伸 ○佐久田博司

1. 緒言 昨年度、垂直平板からの自然対流伝熱について、McAdamsによる実験式と、シミュレータによる計算値を比較して、良い一致をみた(1)。今回は、角柱からの自然対流伝熱について計算結果を報告する。結果の検討は、Nu数の非定常における時間変化、および、定常値によって行った。又、現象把握の補助手段として、8ミリアニメーションフィルムを作成した。

2. 基礎方程式 解くべき基礎方程式系と、補助方程式を以下に示す。

$$\frac{\partial p}{\partial t} + \nabla \cdot (\rho v) = 0 \quad (\text{Eq.1})$$

$$\frac{\partial}{\partial t}(\rho v) + \nabla \cdot (\rho vv) + \nabla p - \rho g + \nabla \cdot \tau = 0 \quad (\text{Eq.2})$$

$$\frac{\partial}{\partial t}(\rho E) + \nabla \cdot (\rho Ev) + \nabla \cdot (pv) - \rho v \cdot g + \nabla \cdot (\tau \cdot v) + \nabla \cdot q = 0 \quad (\text{Eq.3})$$

$$p = \rho RT \quad (\text{Eq.4})$$

$$q = -kV \tau \quad (\text{Eq.5})$$

$$E = U + \frac{1}{2}v \cdot v \quad (\text{Eq.6})$$

$$U = C_v T \quad (\text{Eq.7})$$

ここで、流体は、(a) Newtonian fluid で、(b) Stokesの仮定が成立する、(c) 理想気体であると仮定する。

3. 解法および境界条件 (Eq.1)～(Eq.7)の連立偏微分方程式を数値的に解くために、SORを多変数に拡張した、連立SORを適用する。境界条件はFig 1に示す。系は二次元で、空間の分割に対する変数のallocationはFig 2の通りである。初期条件は、 $t = 0.0$ において等温( $T_0 = 273K$ )の静止した空气中で、角柱の温度が急に、 $T_1 (= 323K)$ に上昇し、4.2秒後に、 $T_2 (= 373K)$ に上昇するという設定である。

4. 結果 単一球からの自然対流に関する半実験式(Eq.8)がよく知られているため、それと計算値を比較した。実際には、(1)重力のない場合、(2)重

$$Nu = 2.0 + 0.6 (Gr)^{1/4} (Pr)^{1/3} \quad (\text{Eq.8}) \quad (2)$$

力のある場合を行った。(1)ではNu数は、時間とともに2.0に漸近していく、この場合に、計算は健全に行われていることが分かった。(2)では、実験式から求められたNu数、( $Nu = 5.11, Gr = 725, Pr = 1.0, at. T = T_1 : Nu = 5.70, Gr = 1450, Pr = 1.0, at. T = T_2$ )と、計算値( $Nu = 5.12, at t = 4.00 : Nu = 5.38, at t = 6.00$ )を比較した。 $T = T_1$ におけるNu数は、誤差0.2%であるが、 $T = T_2$ では6%程存在する。これは、境界条件のために、自然対流が拘束されるという予想に合致する。

なお、非定常から、定常状態への遷移を、8ミリフィルムのアニメーションに撮影したので、結果の詳細とともに当日上映する。

Fig.1  
Boundary condition

0 : outflow boundary

■ : solid wall

● : hot bar

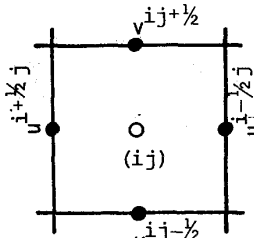


Fig.2

The location of the variables in a cell

NOTATIONS

E: total energy per unit volume [ $L^2 T^2 \theta^{-1}$ ], g: potential force per unit mass [ $L T^{-2}$ ], p: pressure [ $ML^{-1} T^{-2}$ ], R: gas constant [ $ML^2 T^{-2} mol^{-1} \theta^{-1}$ ], T: temperature [ $\theta$ ], U: internal energy per unit mass [ $L^2 T^{-2}$ ], v: velocity of fluid [ $LT^{-1}$ ],  $\tau$ : shear stress tensor [ $ML^{-1} T^{-2}$ ], t: time [T], q: heat flux [ $MT^{-3}$ ],  $C_v$ : specific heat of const.vol. [ $L^2 T^{-2} \theta^{-1}$ ],

$$\nabla = \frac{\partial}{\partial x} + \frac{\partial}{\partial y} + \frac{\partial}{\partial z}$$

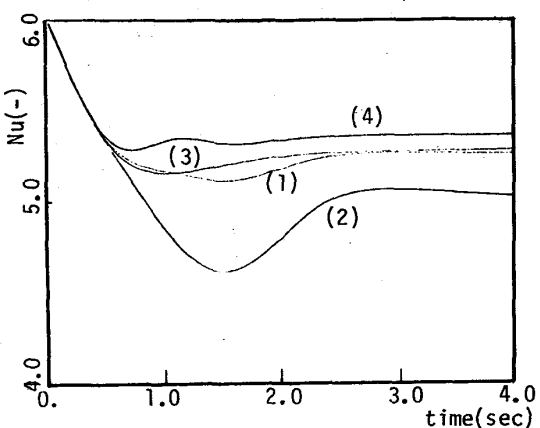


Fig.3 time vs. Nu ( $Gr=725$ )

(1)average, (2)up side, (3)down side, (4)left &right side.